

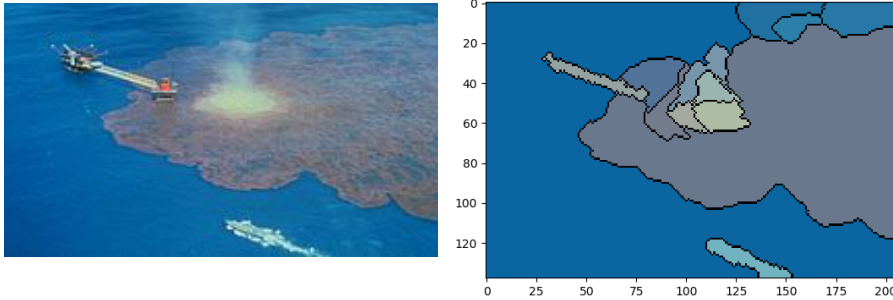
## Segmentation d'image

### Algorithme de Ligne de Partage des Eaux par Inondation

sous le langage *Python*

Objectif : unifier les zones à peu près homogènes de l'image à segmenter (**soit  $n$  son nombre de pixels**)

Motivation : se confronter aux difficultés soulevées par la programmation d'un algorithme dont le principe est assez intuitif : inondation d'un relief, et placement de frontières à la jointure entre deux bassins



Note: La programmation des segmentation et fusion avant amélioration ont fait l'objet d'un travail de groupe, je me suis particulièrement intéressée aux questions de complexité.

## 1. De l'intuition à la programmation

La segmentation repose sur la représentation topographique de l'image en fonction du gradient: une valeur affectée à chaque pixel traduisant la variation de couleur à cet endroit.

On travaille à partir d'une **image de gradients** qui informe sur la répartition géographique des gradients, et d'**étages** qui informent à l'inverse sur la répartition des pixels en intervalles de valeurs prises par le gradient. Les pixels y sont ordonnés par gradients croissants.

L'algorithme crée des bassins et y affecte les pixels en suivant les étapes détaillées par P. Soille et L. Vincent dans *Watersheds in digital spaces : An efficient algorithm based on immersion simulations*. La première partie du travail a consisté à comprendre la pertinence de leur procédure, en particulier :

- l'expansion des bassins de proche en proche, puis la considération des pixels par gradient croissant au sein d'un étage, pour ne pas créer plus d'**un bassin par zone homogène** continue ;
- l'affectation des pixels par étages croissants, pour limiter l'extension des bassins sur les zones homogènes et permettre le placement des **frontières sur les frontières** entre deux teintes de l'image initiale

- Notons la dépendance du résultat en la **hauteur des étages  $h$**  et le **coefficient initial de floutage  $f$**  (cf. page suivante)

## 2. Optimisation du coût de la segmentation

Au cours du traitement, chaque pixel est successivement dans un **étage**, dans la **file d'attente** pour intégrer le bassin en cours de remplissage, puis affecté à un **bassin**. Il faut ôter le pixel de chaque ensemble lorsqu'on le place dans le suivant.

- ➔ Se pose la question du **coût de ces suppressions**.

1. En modélisant les étages et la file d'attente par des listes Python, on aboutit à une **complexité quadratique** en le nombre total de pixels, car la suppression est linéaire en la longueur de la liste avec la **méthode `.remove`**.

2. L'accès au  $k^{\text{ième}}$  élément en temps quasi-constant m'a permis remplacer les suppressions dans la file d'attente par un **compteur** qui n'avait qu'à s'incrémenter pour indiquer l'indice du pixel suivant à considérer. Mais cela ne peut être mis en place pour les suppressions dans l'étage, où les pixels à supprimer n'ont pas de position privilégiée, du fait du traitement par voisinage et non indice croissant.

3. Enfin, les **tables de hachage** ont permis un accès en temps constant à chaque élément dans l'étage et dans la file d'attente sans surconsommation de mémoire. La clé est un pixel, la valeur est le couple (pixel\_précédent, pixel\_suivant). Pour ôter n'importe quel élément de la liste, il suffit de changer les valeurs de pixel\_suivant et pixel\_précédent de ses voisins de gauche et droite respectivement.

- ➔ **complexité linéaire** (cf. page suivante)

la durée de segmentation est passée de 39.0 secondes à 3.5 secondes pour notre image :  $n = 28\ 288$ ,  $h = 5$ ,  $f = 8$

### 3. Optimisation du résultat : fusion des petits bassins

Pour corriger la sur-segmentation, on a voulu rattacher les bassins négligeables à des bassins voisins de couleur proche.

La fusion des petits bassins force à mémoriser explicitement les pixels contenus dans chaque bassin, identifié par un numéro appelé **label**. On note **nbi** le nombre initial de bassins. Un tableau « effectifs » contient pour chaque label le nombre de pixels contenus dans le bassin associé. Il est calculé en  $O(n)$ .

La fusion des bassins fonctionne de la manière suivante :

**Tant qu'il** existe un bassin à fusionner (d'effectif  $< \text{eff\_max}$  et pas dans la liste des bassins non traitables, en  $O(\text{nb\_bassins\_initial})$ ) :

**Si** son plus proche bassin voisin est suffisamment proche :

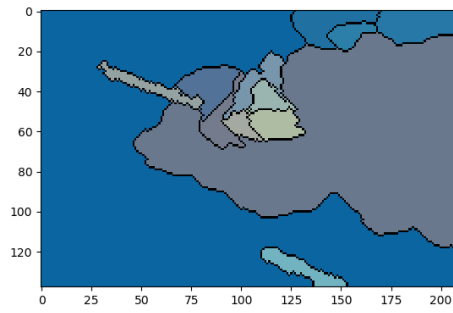
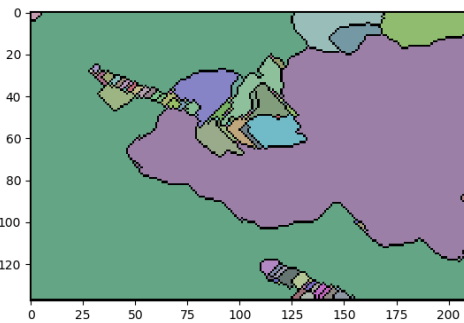
(la norme carrée de la différence des composantes RVB moyennes des bassins est minimale et  $< \text{diff\_max}$ , calculs en  $O(n)$ )

fusion des deux bassins en un nouveau bassin de label inédit sur l'image-résultat

(changement du label des pixels des deux bassins initiaux et de la frontière, sur l'image-résultat, en  $O(n)$ )

mise à jour des **effectifs** de chaque bassin (calcul du tableau effectifs en  $O(n)$ )

**Sinon** : son label est ajouté à la liste des bassins non traitables



$n=28\ 288$  pixels

Paramètres :

$h = 5$

$f = 8$

$\text{eff\_max} = 120$

$\text{diff\_max} = 180$

Résultats :

$\text{nbi} = 126$  bassins initialement

14 bassins après fusion

### 4. Optimisation du coût de la fusion

La complexité de la boucle est  $O(n)$ , et elle est appelée au plus  $\text{nbi}$  fois, donc la fonction est un  $O(n * \text{nbi}) = O(n^2)$ .

→ Il s'agit de **réduire la constante** du  $O(n)$  de la boucle.

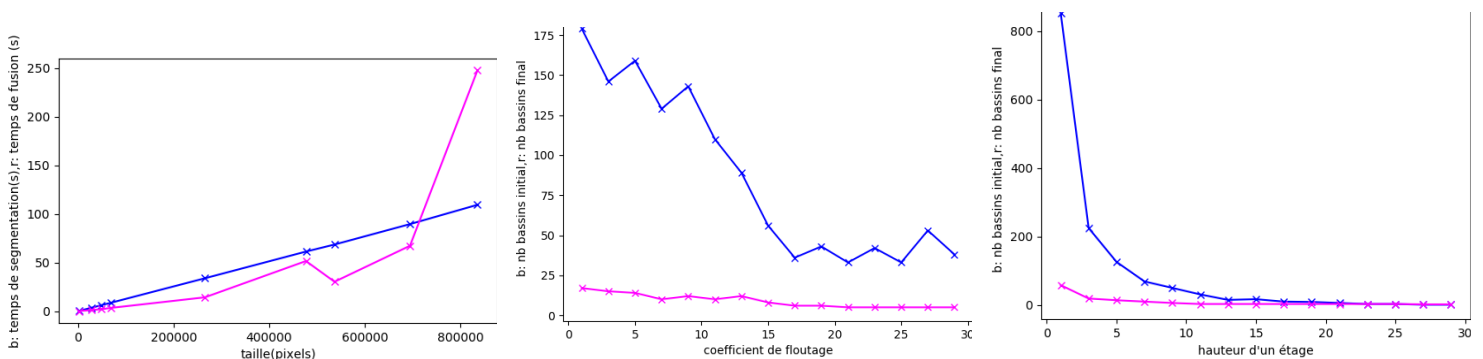
On s'appuie sur un tableau « bassins » répertoriant pour chaque bassin [effectif  $E(\text{int})$ , contenu  $C(\text{int} * \text{int list})$ , [Rmoy, Vmoy, Bmoy] ( $\text{int list}$ ), est\_traitable ( $\text{bool}$ )], créé en  $O(n)$ .

Au lieu de le recalculer, chaque fusion vide les 2 bassins fusionnés et ajoute une ligne correspondant au nouveau bassin, en  $O(\text{effectif\_nouveau\_bassin})$  :  $[E1+E2, C1 \cup C2, [\text{int}(R1 * E1 + R2 * E2) / (E1+E2), V, B], \text{true}]$ , rendant l'accès à de nombreuses informations en temps constant.

→ **performance temporelle fortement améliorée**, même si la complexité est toujours  $O(n^2)$

Sur notre exemple, la durée de fusion passe de 61.5 secondes à 1,2 secondes

→ **réduction drastique de l'influence de la tolérance et du floutage** sur le nombre de bassins finaux



➤ Notons la dépendance du résultat en l'effectif maximal d'un bassin fusionnable **eff\_max** et la différence de couleur maximale entre deux bassins fusionnés **diff\_max** (cf. 5)

